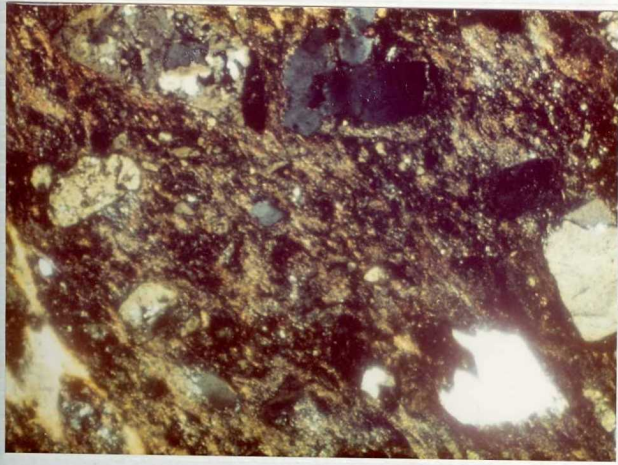
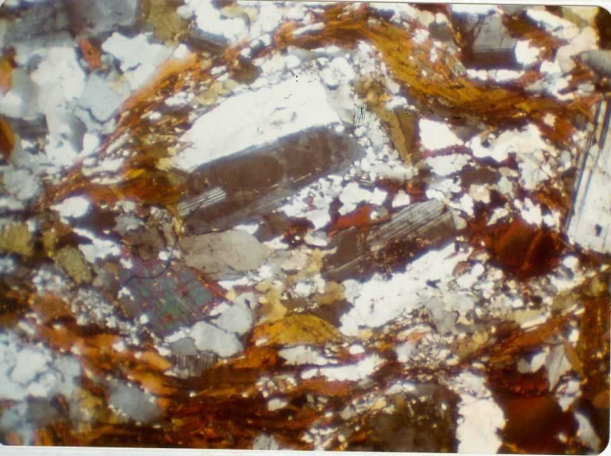


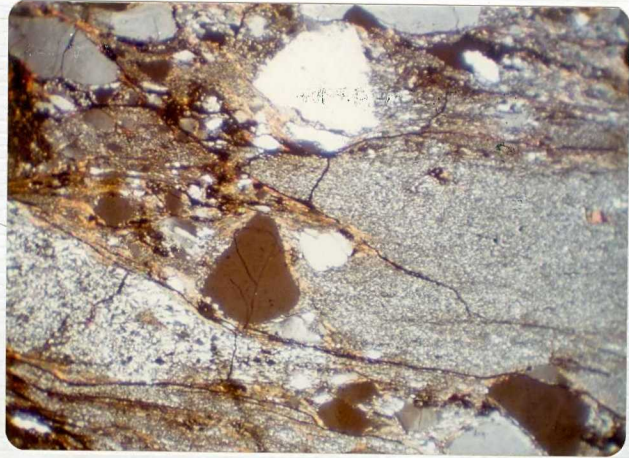
0702 IBJF 1001. Cloritoide con sombra de presión  
de moscovita y cuarzo en filita ( $O_{2-3}$ ) LP x 40.



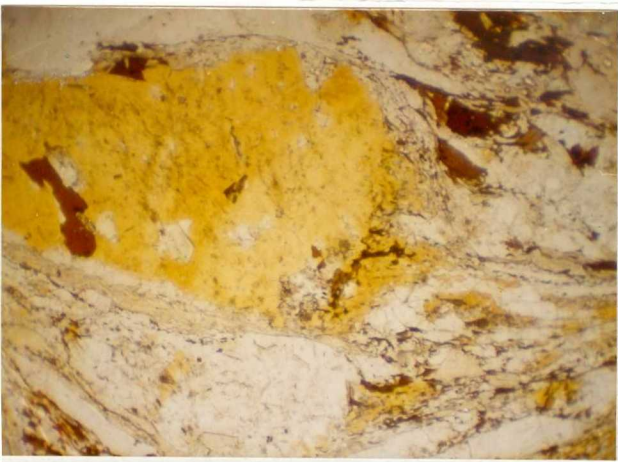
0702 IBJF 1012. Metavulcanita ácida (mp), aspecto textural LP x 6,3.



0702 IBJF 1014. Desarrollo de foliación en torno  
a fenocristales en tonalita biotítica-hornbléndi-  
ca ( $\gamma_1^b \gamma_2^n$ ). LN x 5.



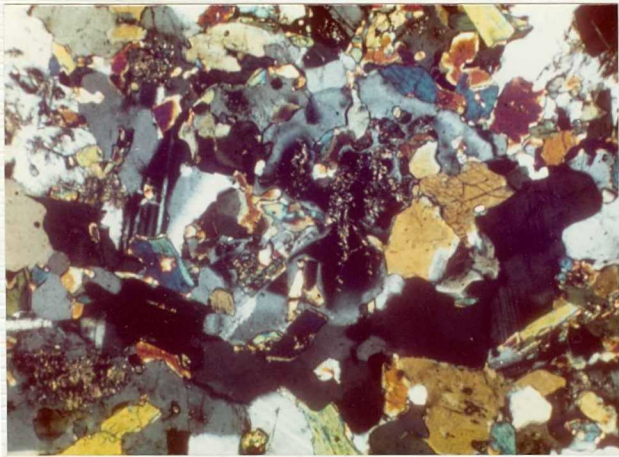
0702 IBJF 1037. Toba ácida ( $Mg$ ) de la formación  
silúrica, aspecto textural. LN x 5.



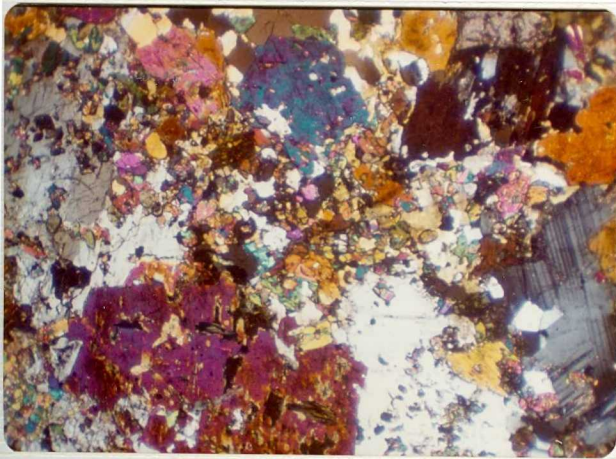
0702 IBJF 1056. Deformación en adamellita de dos  
micas ( $\frac{b}{1} \gamma^2$ ) en torno a fenocristales de feldespato potásico. LN x 5.



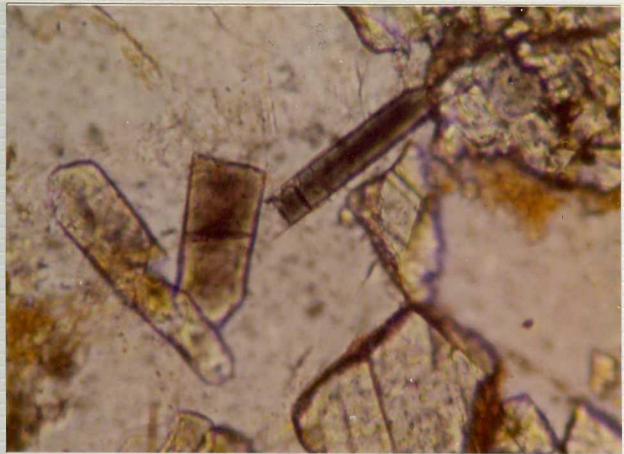
0702 IBJF 1059. Aspecto de horblendita ( $\sigma h$ ) en material granodiorítico ( $I_{\gamma \gamma}^b 2$ ).



0702 IBJF 1080. Cuarzo gabro piroxenico anfibólico, aspecto textural ( $\sigma\eta$ )LP x 6,3.



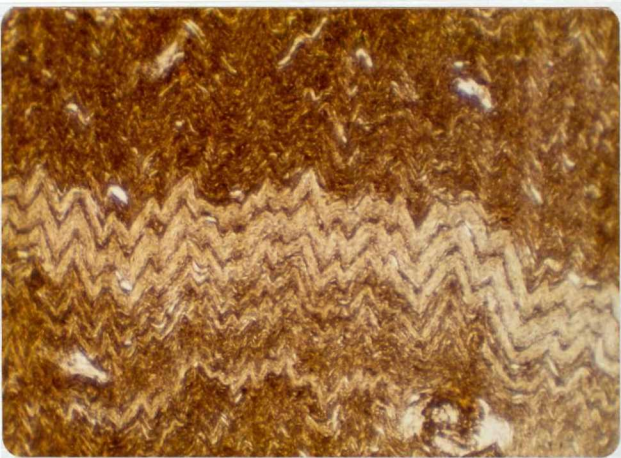
0702 IBJF 1081. Cuarzo gabro piroxénico-anfibólico ( $\gamma_1^2$ ). Aspecto textural LP x 5.



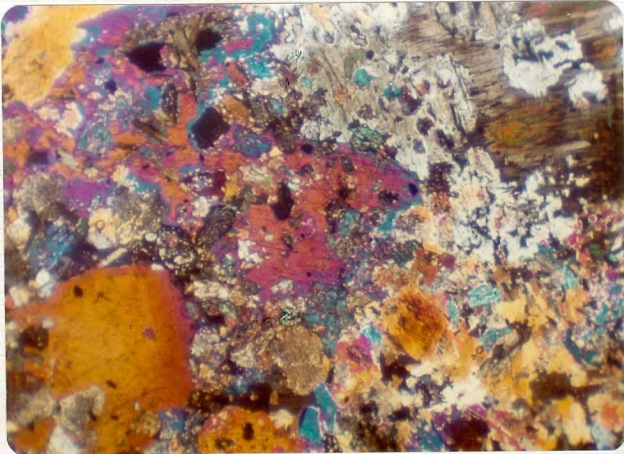
0702 IBJF 1081. Apatitos prismáticos con el nú--  
cleo ahumado por inclusiones. LN x 90.



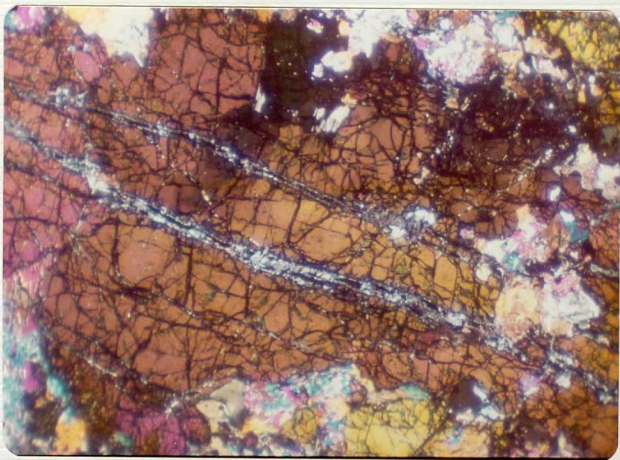
0702 IBJF 1085. Enclave de material margoso en --  
granodiorita precoz. ( $\frac{b}{I} \gamma n^2$ ) Forma arriñonada por  
efecto de  $F_2$ . (Visto desde el S).



0702 IB JF 1086. Filitas ( $O_{2-3}$ ), micropliegues en chevron. En el ángulo inferior derecho, granate con sombra de presión respecto de la es- - quistosidad de flujo. LN x 5.



0702 IBJF 1087. Cortlandita ( $\text{Mg}_2\text{Si}_2\text{O}_5$ ). Piroxeno trans-formándose en anfibol, flogopita en vias de cloritización. LP x 5.



0702 IBJF 1087. Olivino deformado en cortlandita  
( $\delta h$ ). LP x 5.



0702 IBJF 1088. Mismo enclave anterior ( $\frac{b}{I} \gamma n^2$ ) vis-  
to desde el N).



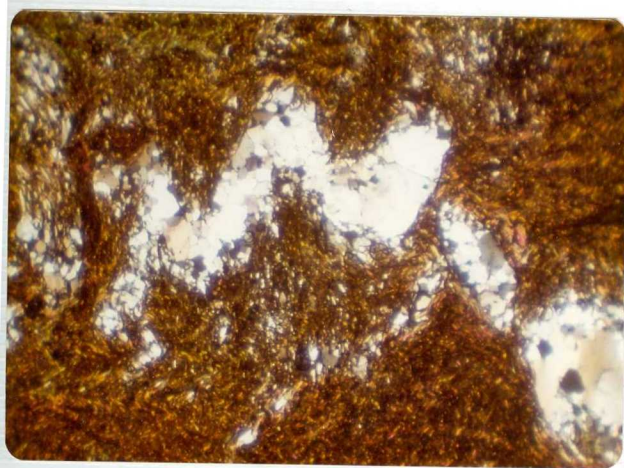
0702 IBJF 1089. ( $\frac{b}{I} \gamma \eta^2$ ) granodiorita precoz y pegmatitas. Pliegue suave de  $F_2$  del material más leucocrático.



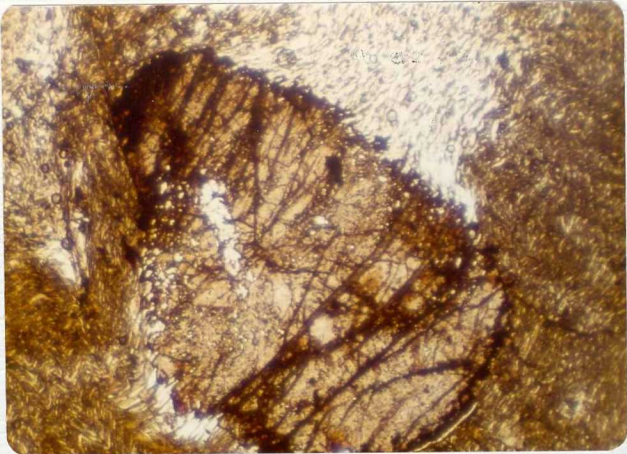
0702 IBJF 1090. Skarn en serie paleozoica (PC) --  
producido por el emplazamiento de la granodiorita  
precoz.



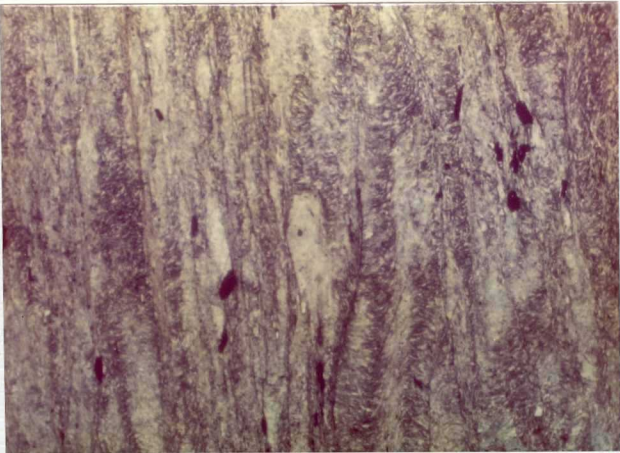
0702 IBJF. 1091. Enclave melanocrático girado por la intrusión de la granodiorita precoz ( $\frac{b}{I} \gamma n^2$ )



0702 IBMA 506. Esquisto con granate y cloritoide ( $\text{O}_{2-3}$ ). Esquistosidad de flujo ( $S_2$ ) posteriormente crenulada, y que pliega a cuarzo de diferenciación anterior. LP x 6,3.



0702 IBMA 506. Misma roca que la anterior, detalle del granate con sombra de presión. Se observa así mismo la crenulación LN x 5.

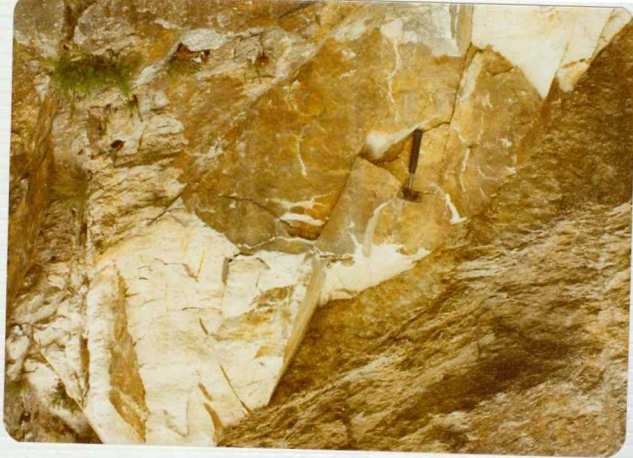


0702 IBMA 561. Esquistosidad de tipo "strain- -- slip" en filita ( $O_{12}^1$ ) LN x 5.



0702 IBMA 653. Pliegue de  $F_2$  en --  
las filitas del Ordovícico medio y  
superior ( $O_{2-3}$ ) acompañante del --  
anticlinal del dominio del "Ollo de  
Sapo"





0702 IBMA 654. Intrusión de granito ( $d_{\gamma}^2$ ) de grano fino, en las facies de megacristales (PC $\zeta$ ) que presentan feldespatos estirados.



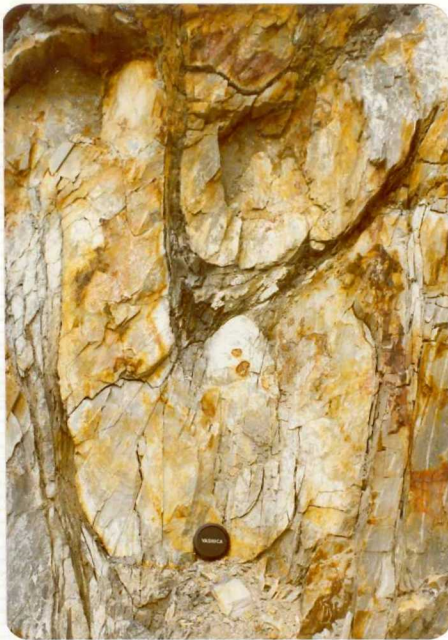
0702 IBMA 655. En las facies de megacristales del "Ollo de Sapo" (PC $\zeta$ ). Feldespatos estirados y curvados próximos a dique granítico abudinado.



0702 IBMA 656. Replegamiento de las cuarcitas en bancos contínuos ( $O_{12}^2$ ) con intercalaciones de filitas, acompañantes al pliegue anticlinal ( $F_2$ ) del dominio del "Ollo de Sapo".



0702 IBMA 657. Detalle de la anterior. Se observa cuarzo replegado similarmente por la  $F_2$ . ( $O_{12}^2$ )



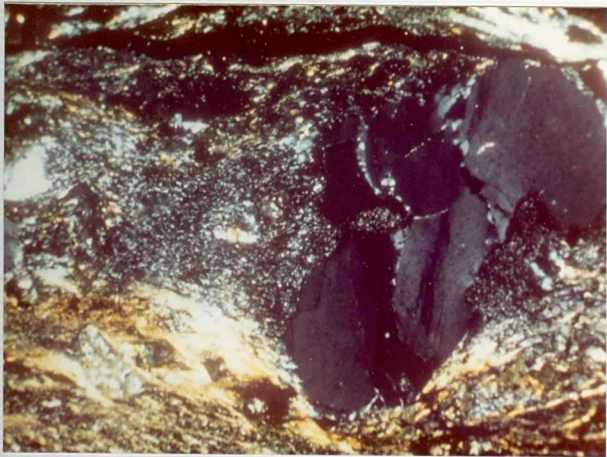
0702 IBMA 658. Detalle de la 656. -  
Aspecto de repliegue de cuarcita --  
donde se observa refracción de la -  
esquistosidad ( $\sigma_{12}^2$ )



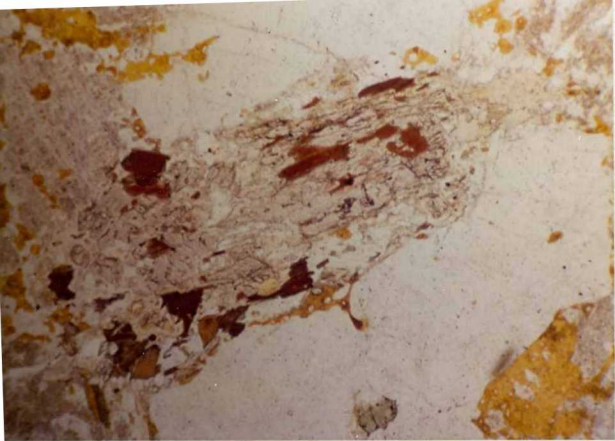
0702 IBMA 659. Detalle de la 656. Repliegues simi  
lares de filones de cuarzo ( $O_{12}^2$ )



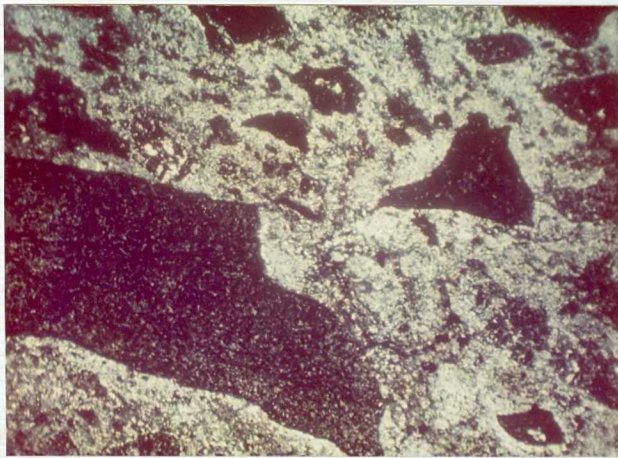
0702 IBMA 660. Panorámica de la explotación de pi  
zarras para techar de Rande en materiales del Or-  
dovícico medio y superior ( $O_{2-3}$ ).



0702 IBVM 11. Blastocristal de cuarzo, fracturado, en metavulcanífa ácida ( $M\sigma$ ) LP x 16.



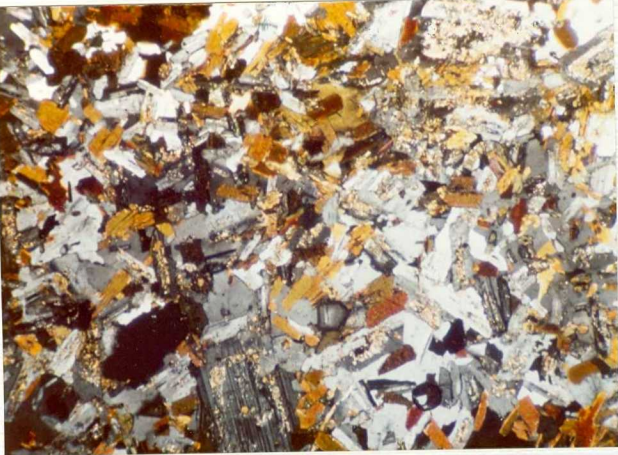
02 IBVM 19. Andalucita con pleocroismo rosado  
granito de dos micas ( $d\gamma^2$ ). LN x 18.



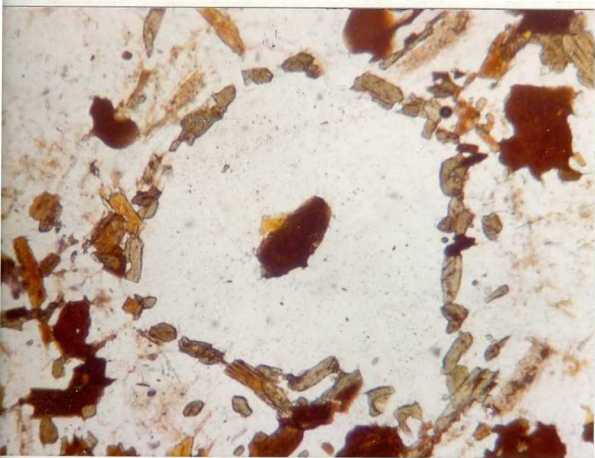
0702 IBVM 2. Metaaglomerado básico con matriz - silicea. Aspecto textural ( $S_3^B$ ) LN x 5.



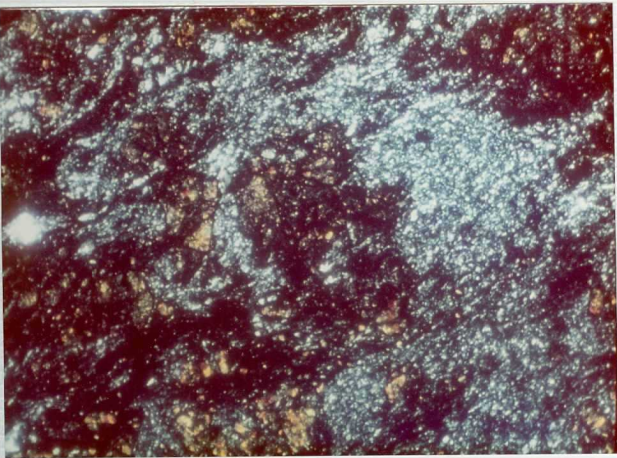
702 IBVM 22. Fenocristal de plagioclasa zonada  
en cuarzodiorita anfibolico-biotitica enclavada  
en granodiorita ( $\frac{b}{c} \gamma^2$ ) LP x 25.



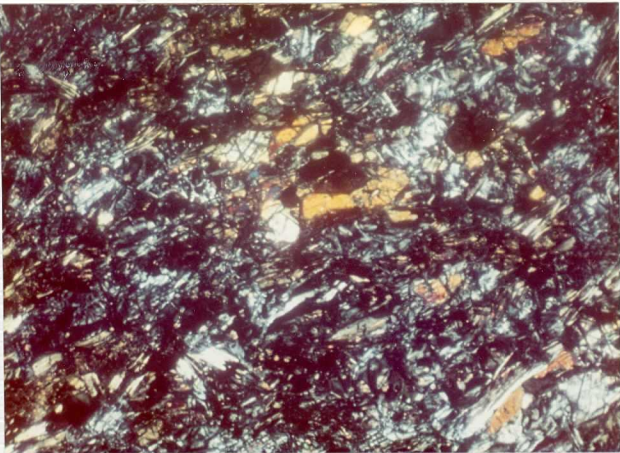
0702 IBVM 25. Cuarzodiorita biotítica incluida en  
granodiorita ( $\frac{b}{c} \gamma^2$ ). Aspecto textural. LP x 18.



702 IBVM 25. Detalle de cuarzo intersticial con inclusiones dispuestas en corona de anfibol y -- biotita. Lámina de ésta y feldespato en el núcleo LN x 30.



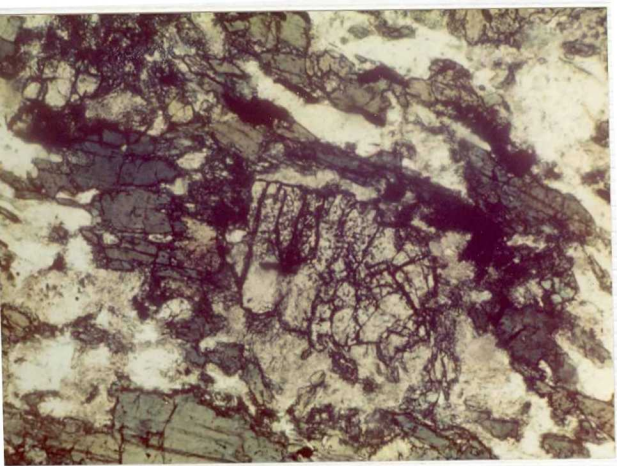
0702 IBVM 29. Cuarzoepidosita milonítica ( $S_3^B$ ) --  
LP x 5.



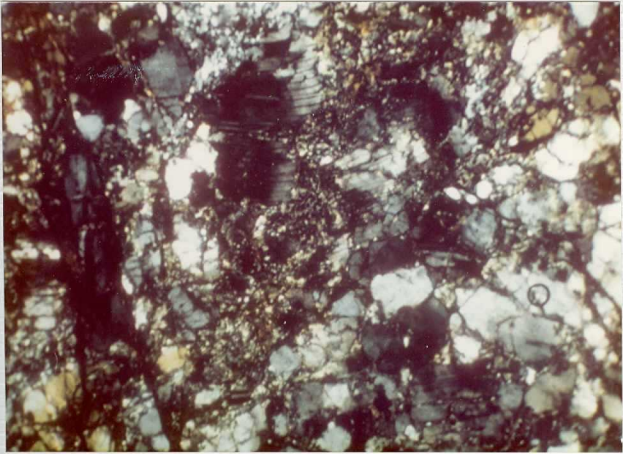
0702 IBVM 40. Metaperidotita serpentinizada con anfibol ( $\epsilon$ ) LP x 6,3.



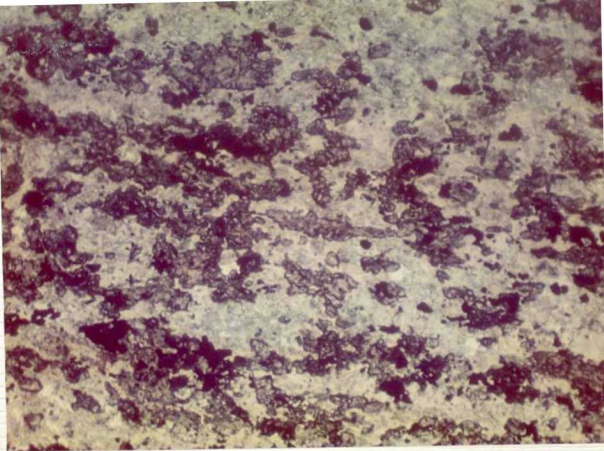
0702 IBVM 41. Clinzoisita con núcleo de allanita en retrogranulita (Mp). LP x 40.



0702 IBVM 41. Granate y anfibol en retrogranulata (Mp). LN x 32.



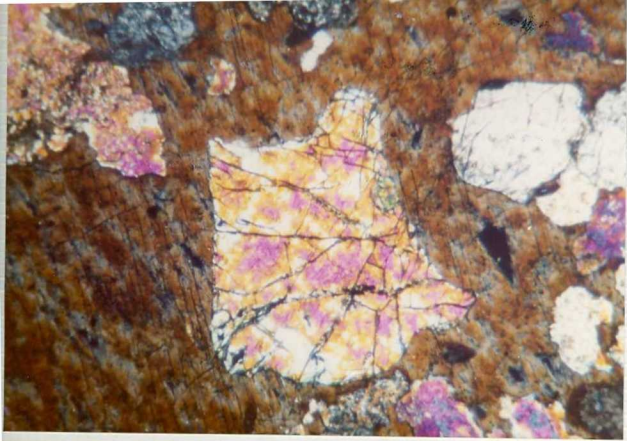
0702 IBVM 47. Cataclasis en ortoneis alcalino  
(MP). LP x 5.



0702 IBVM 65. Enclave de neis con hiperstena, anfibol y biotita en granodiorita ( $\frac{b}{c} \gamma^2$ ) LN x 5.



0702 IBVM 67. Pliegue de  $F_3$  que afecta a la esquistosidad principal ( $S_2$ ), plegado a su vez por la  $F_4$ . Corresponde a los neises de dos micas PC-CA  $\zeta$  (Serie de Cariño)



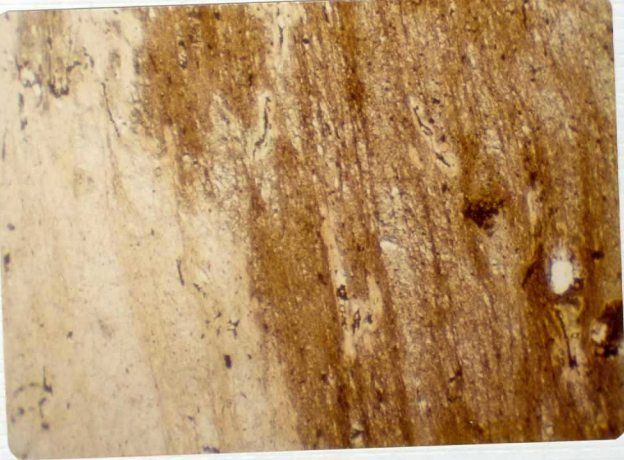
0702 IBVM 67. Olivino incluido en anfibol en cortlandita ( $\delta h$ ). LP x 30



702 IBVM 68. Detalle de la fotografía anterior -  
67). Pliegue de  $F_2$  asociado a la esquistosidad -  
rincipal. Neises de dos micas PC-CA  $\zeta$  (Serie de -  
ariño)



0702 IBVM 69. Pliegue similar de  $F_3$  en la misma -  
estación anterior (68). Neises de dos micas PC-CA  
 $\zeta$  (Serie de Cariño).



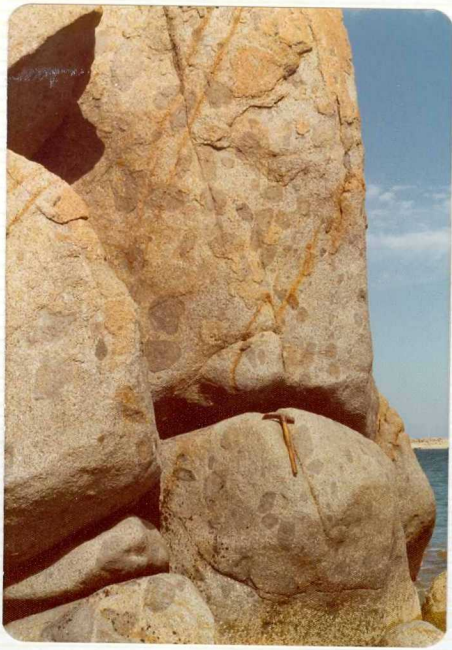
0702 IB VM 7. Silúrico (S). Contacto litológico  
( $S_0$ ) plegado, entre una fracción grauváquica y otra filítica, se observa  $S_1$  residual en los -- microlitos de  $S_2$ . LN x 5.



0702 IBVM 70. Detalle del mismo pliegue anterior  
(69)



0702 IBVM 63. Enclave del Ollo de Sapo en la granodiorita tardía de la Estaca de Bares con concentraciones melanocráticas. Junto al martillo se observa además una banda alargada de composición básica (PCζ)



0702 IBVM 71. Granodiorita tardía de la Estaca de  
Bares con enclaves melanocráticos ( $b_{C}^{Y^2}$ )